

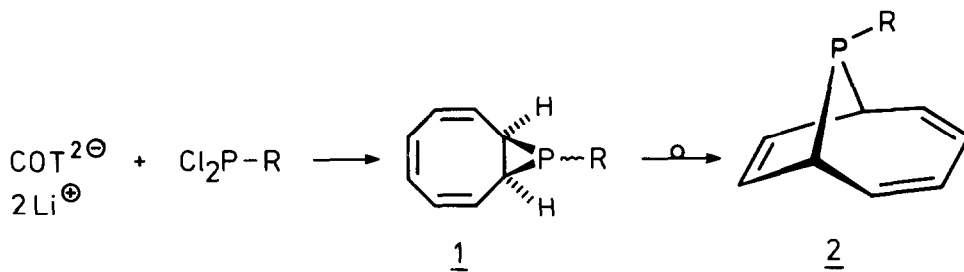
1,8-BIS-[PHOSPHINO]-1,3,5,7-OCTATETRAENE DURCH UMSETZUNG
VON CYCLOOCTATETRAEN-DILITHIUM MIT R₂P-Cl

G. Märkl,^{*} B. Alig und E. Eckl

Institut für Organische Chemie der Universität Regensburg

By reaction of cyclooctatetraene-dilithium with R₂P-Cl the expected 1,3,5-cyclooctatriene-7,8-diphosphanes (6) undergo spontaneously a conrotatory ring-opening reaction to give the title compounds.

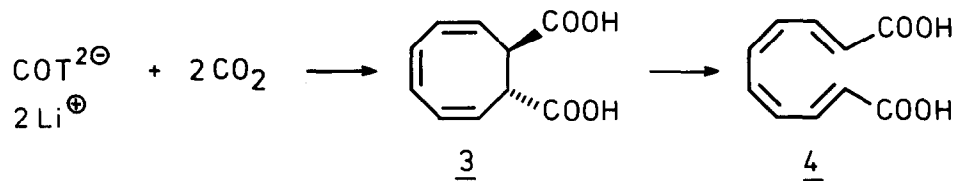
Vor kurzem konnten wir zeigen, daß sich die von T.J. Katz beschriebene Umsetzung von Cyclooctatetraendianion mit Dichlorphenylphosphan ¹⁾ zum 9-Phenyl-9-phospha-bicyclo[6,1,0]-nona-2,4,6-trien bei tiefer Temperatur (-78 °C) auch auf die Umsetzung von COT²⁻ mit Alkyldichlorphosphananen und Bis[dialkylamino]-phosphanen übertragen läßt ²⁾:



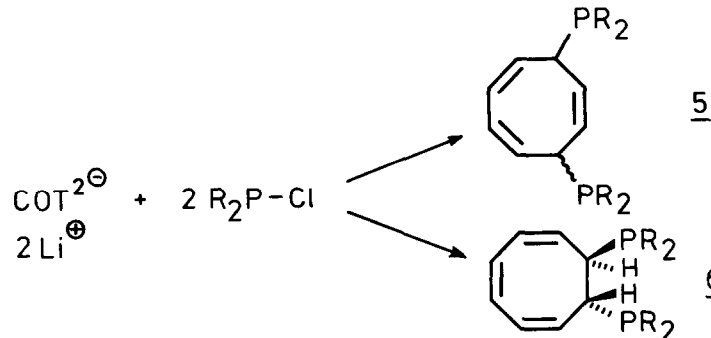
Die Phosphane 1 lagern in Abhängigkeit von den Substituenten R bei etwa -50 ° bis +130 °C in die 9-Phospha-bicyclo[4,2,1]-nona-2,4,7-triene um.

Während das Cyclooctatetraendianion überwiegend zum 1,3,6-Cyclooctatrien protoniert wird ³⁾, konnte Th.S. Cantrell ⁴⁾ - alte Ergebnisse korrigierend ⁵⁾ - zeigen, daß die bei der Carboxylierung von COT²⁻ primär entstehende 1,3,5-Cyclooctatrien-trans-7,8-dicarbonsäure 3 spontan in die trans,cis,cis,trans-1,3,5,7-Octatetraen-1,8-dicarbonsäure 4 umlagert, deren Methylester photochemisch zur all-trans-Form

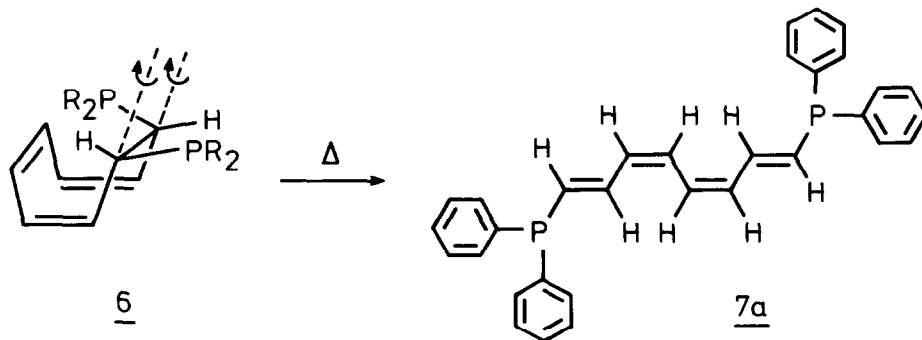
isomerisiert wird:



Wir können nunmehr zeigen, daß bei der Umsetzung von COT^{2-} mit 2 Mol Chlordiphenylphosphan bei -78°C weder das 1,3,6-Cyclooctatatrien-5,8-diphosphan 5 noch das 1,3,5-Cyclooctatatrien-7,8-diphosphan 6 ($\text{R}=\text{C}_6\text{H}_5$) entsteht:



Die analytischen und spektroskopischen Daten des gelben, kristallinen Reaktionsproduktes sprechen eindeutig für eine elektrocyclische, konrotatorische Ringöffnung von 6 zu dem 1,8-Bis-[diphenylphosphino]-trans,cis,cis-trans-1,3,5,7-octatetraen 7a ($\text{R}=\text{Ph}$):



Die zum Vergleich mitaufgeführten spektroskopischen Daten des trans,-cis,cis,trans-1,3,5,7-Octatrien-1,8-dicarbonsäureesters 8⁴⁾ und des trans,cis,cis,trans-2,4,6,8-Decatetraens 9⁶⁾ unterstreichen die Richtigkeit der Strukturzuordnung.

7a, Ausb. 42 %, gelbe Kristalle, Schmp. 178-180 °C (aus Benzol/Methanol).

UV-Spektrum (CHCl_3): $\lambda_{\text{max}} = 266 \text{ nm } (\epsilon = 8.800); 273 (8.500); 312 (28.300); 326$

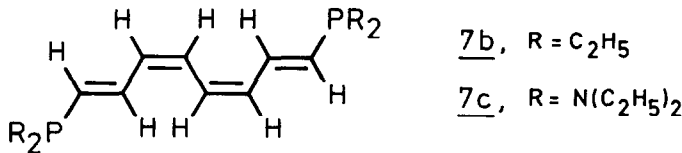
37.700); 341 (31.200); zum Vergleich: 8, $\lambda_{\max} = 338 \text{ nm}$ ($\epsilon = 36.000$); 9, $\lambda_{\max} = 281 \text{ nm}$ ($\epsilon = 25.120$); 294 (37.150); 308 (30.200).

¹H-NMR-Spektrum (CDCl_3 , 250 MHz); Phenyl-H: $\delta = 7.28-7.71 \text{ ppm}$ (m); $\text{H}^1: 6.47 \text{ (dd)}$, $J_{\text{H}^1/\text{H}^2} = 16.2 \text{ Hz}$; $J_{\text{P}/\text{H}} = 9.81 \text{ Hz}$; $\text{H}^2: 7.00 \text{ (2t)}$, $J_{\text{H}^2/\text{H}^3} = 11.2 \text{ Hz}$; $J_{\text{P}/\text{H}} = 11.6 \text{ Hz}$; $\text{H}^3: 6.13-6.21 \text{ (m)}$; $\text{H}^4: 6.40 \text{ (dd)}$, $J_{\text{H}^4/\text{H}} = 2.18 \text{ Hz}$; 7.45 Hz ; zum Vergleich 8; $\text{H}^1: 5.98 \text{ (d)}$, $J_{\text{H}^1/\text{H}^2} = 16 \text{ Hz}$; $\text{H}^2: 7.76 \text{ (dd)}$, $J_{\text{H}^2/\text{H}^3} = 11.8 \text{ Hz}$; $\text{H}^3: 6.40 \text{ (m)}$; $\text{H}^4: 6.88 \text{ (dd)}$, $J_{\text{H}^4/\text{H}} = 9.4 \text{ Hz}$, 2.1 Hz.

MS (70 eV), M^{+*} , $m/e = 474$ (rel. Int. 15 %), $[\text{M}-\text{C}_8\text{H}_8]^{+*}$, 370 (29 %), $[\text{M}-\text{PPh}_2]^+$, 289 (63 %); $[\text{Ph}_2\text{P}]^{+*}$, 186 (44 %); $[\text{Ph}_2\text{P}-2\text{H}]^+$, 183 (100 %).

Derivate von 7a: Bis-phosphinoxid, Schmp. 237-239 °C; Bis-phosphinsulfid, Schmp. 210 - 214 °C; Bis-[methyl]-phosphoniumsalz, Schmp. 240-241 °C.

Die bei der Umsetzung von COT^{2-} mit Dialkylchlorphosphanen sowie mit Bis-[N,N-dialkylamino]-chlorphosphanen zu erwartenden 1,3,6-Cyclooctatrien-7,8-diphosphane 6 ($\text{R} = \text{Alkyl}$, NR'_2) unterliegen ebenfalls spontan der elektrocyclischen Ringöffnung zu den 1,8-Bis-[phosphinol]-trans,cis,-cis,trans-1,3,5,7-octatetraenen 7b und 7c:



7b, Ausb. 37 %, gelbe Blättchen, Schmp. 48.5-50.0 °C (aus Methanol).

UV-Spektrum (n-Hexan), $\lambda_{\max} = 329 \text{ nm}$ ($\epsilon = 38.600$).

¹H-NMR-Spektrum (CDCl_3 , 250 MHz); $\text{CH}_2: \delta = 1.41-1.59 \text{ ppm}$ (m); $\text{CH}_3: 1.06 \text{ (2t)}$, $J_{\text{H}^1/\text{H}} = 7.60 \text{ Hz}$; $J_{\text{P}/\text{H}} = 15.0 \text{ Hz}$; $\text{H}^1: 6.09 \text{ (dd)}$, $J_{\text{H}^1/\text{H}} = 16.2 \text{ Hz}$; $J_{\text{P}/\text{H}} = 5.51 \text{ Hz}$; $\text{H}^2: 7.03 \text{ (2t)}$, $J_{\text{H}^2/\text{H}} = 16.5 \text{ Hz}$; 11.2 Hz , $J_{\text{P}/\text{H}} = 11.0 \text{ Hz}$; $\text{H}^3: 6.07-6.15 \text{ (m)}$; $\text{H}^4: 6.48 \text{ (dd)}$, $J_{\text{H}^4/\text{H}} = 7.32 \text{ Hz}$, 2.20 Hz.

¹³C-NMR-Spektrum (CDCl_3); $\text{CH}_3: \delta = 9.68 \text{ ppm}$ (d), $J_{\text{P}/\text{C}} = 12.3 \text{ Hz}$; $\text{CH}_2: 19.4 \text{ (d)}$, $J_{\text{P}/\text{C}} = 9.39 \text{ Hz}$; $\text{C}^1: 131.8 \text{ (d)}$, $J_{\text{P}/\text{C}} = 11.5 \text{ Hz}$; $\text{C}^2: 135.7 \text{ (d)}$, $J_{\text{P}/\text{C}} = 6.46 \text{ Hz}$; $\text{C}^3: 124.1 \text{ (s)}$; $\text{C}^4: 136.7 \text{ (s)}$.

MS (70 eV); M^{+*} , $m/e = 282$ (25 %); $[\text{M}-\text{C}_2\text{H}_5]^+$, 253 (100 %); $[\text{M}-\text{P}(\text{C}_2\text{H}_5)_2]^+$, 193

(82 %), $[193-\text{C}_2\text{H}_5]^{+}$, 164 (17 %).

7c, schwach gelbe Nadeln, Schmp. 73-75 °C (aus Petrolether 50-70 °C).

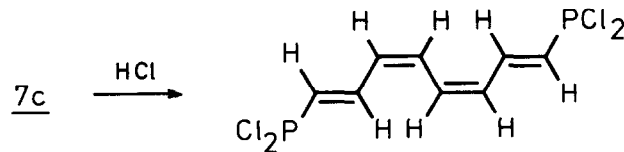
UV-Spektrum (Ethanol), $\lambda_{\text{max}} = 352 \text{ nm}$ ($\epsilon = 36.400$).

¹H-NMR-Spektrum (C_6D_6): $\text{N}-\text{CH}_2$: $\delta = 3.02 \text{ ppm}$ (m), AB-System, $J_{\text{AB}} = 13.8 \text{ Hz}$; $\text{N}-\text{CH}_2\text{CH}_3$: 1.01 (t), $J_{\text{H}/\text{H}} = 7.10 \text{ Hz}$; H^1 : 6.16 (dd), $J_{\text{H}/\text{H}} = 16.3 \text{ Hz}$, $J_{\text{P}/\text{H}} = 16.4 \text{ Hz}$; H^2 : 7.18 (im Solvensbereich); H^3 : 6.17-6.21 (m); H^4 : 6.66 (dd).

¹³C-NMR-Spektrum (C_6D_6): NCH_2CH_3 : $\delta = 15.14 \text{ ppm}$ (d), $J_{\text{P}/\text{C}} = 3.52 \text{ Hz}$; $\text{N}-\text{CH}_2$: $\delta = 43.37 \text{ (d)}$, $J_{\text{P}/\text{C}} = 16.43 \text{ Hz}$; C^1 : 133.55 (d), $J_{\text{P}/\text{C}} = 18.78 \text{ Hz}$; C^2 : 124.04 (d), $J_{\text{P}/\text{C}} = 2.35 \text{ Hz}$; C^3, C^4 : 131.48 (s); 137.49 (s).

MS (70 eV): M^{+} , m/e = 454 (7 %); $[\text{M}-\text{H}_5\text{C}_2\text{N}=\text{CHCH}_3]^{+}$, 383 (7 %); $[\text{M}-\text{N}(\text{C}_2\text{H}_5)_2]^{+}$, 382 (5 %); $[\text{P}(\text{NET}_2)_2]^{+}$, 175 (100 %).

Das 1,8-Bis-[di-(N,N-diethylamin)phosphino]-1,3,5,7-octatetraen 7c kann durch Umsetzung mit Chlorwasserstoff in das Tetrachlorid 7d überführt werden, das ein wertvolles Edukt für weitere synthetische Untersuchungen darstellt:



Literaturverzeichnis

- [1] Th.J. Katz, C.R. Nicholson, C.A. Reilly, J.Am.Chem.Soc. 88, 3832 (1966); E.W. Turnblom, Th.J. Katz, ibid. 95, 4292 (1973).
- [2] G. Märkl, B. Alig, Tetrahedron Lett., 1982, 4915.
- [3] A.C. Cope, F.A. Hochstein, J.Am.Chem.Soc. 72, 2512 (1950).
- [4] Th.S. Cantrell, Tetrahedron Lett. 1968, 5635; J.Am.Chem.Soc. 92, 5480 (1970).
- [5] W. Reppe, O. Schlichting, K. Klager, T. Toepel, Liebigs Ann.Chem. 560, 1 (1948).
- [6] R. Huisgen, A. Dahmen, H. Huber, Tetrahedron Lett. 1969, 1461; J.Am.Chem.Soc. 89, 7130 (1967); A. Dahmen, R. Huisgen, Tetrahedron Lett. 1969, 1465.